

### III-23 正規粘土の間ゲキ水圧特性

京都大学防災研究所 O正員 軽部大蔵

京都大学工学部 学生員 梨原則夫

粘土をいろいろな力率条件のもとで圧密非排水圧縮・Extensionセント断した結果を、おもに間ゲキ水圧とダイレタンシーに重複をおいて報告する。使用した試料は粘土分43.5%，LL 77.5%，PL 40.5%の練返し再圧密飽和粘土で、供試体寸法は直径3.58cm×高さ8cmの円筒形であつて、スパイラル型のペーパードレインをまづつけている。セント断に先立つて、所定の液圧 $\sigma_c$ で24時間の圧密を行ない、続いて1kg/cm<sup>2</sup>のバック・プレッシャーを与えた後、以下に述べるセント断試験を行なつた。

1. 定ヒズミ式セント断試験: セント断中の側方応力 $\sigma_f$ を一定に保つ圧縮およびExtension試験を $\sigma_c=1, 2, 3, 4$ kg/cm<sup>2</sup>のものについて行ない、さらにセント断中の軸方向応力 $\sigma_a$ または平均主応力 $\sigma_m$ を一定に保つ試験を $\sigma_c=3$ kg/cm<sup>2</sup>のものについて行なつた。セント断中の軸方向ヒズミ速さは0.02%/minである。すべての供試体が軸方向ヒズミ $\epsilon_a \approx 10\%$ で主応力差 $|\sigma_a - \sigma_f|$ の最大値を示し、この応力をモールの応力図に換算する応力図Kアプロットすると(Fig.1), 原点を通る一本の曲線として全試験の破壊線が求められた。次にセント断中の間ゲキ水圧からこの粘土のダイレタンシーを決定する要素について調べてみると、セント断中の粘土の体積圧縮率が一定であると仮定すると、飽和粘土のダイレタンシーは排水状態における発生間ゲキ水圧 $\Delta u$ から、その間ゲキ水圧を引き出した外部応力の変化量の平均主応力成分 $\Delta \sigma_m$ を差引いた値、 $(\Delta u - \Delta \sigma_m)$ に比例する。そこで、 $\sigma_c = 3$ kg/cm<sup>2</sup>の6倍の全応力経路の相異なる試験結果なら、 $(\Delta u - \Delta \sigma_m)$ を計算し、この量をきめる要素をいろいろ検討してみた。たとえば、この量と、対応する $\epsilon_a$ との関係を求めるヒズミ増分 $\Delta \epsilon_a = 1\%$ は圧縮のそれの70~75%程度であった。次に $(\Delta u - \Delta \sigma_m)$ と、対応する八面体セント断応力 $T_{act}$ の関係を求めると(Fig.2)、圧縮もExtensionも同じ $T_{act}$ に対して大体同じダイレタンシーを示すことがわかる。したがってこの試験に関する限り、ダイレタンシーは $T_{act}$ の関数であると考えた方が統一的な整理ができることになる。

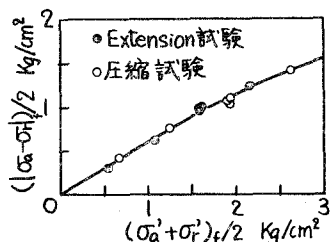


Fig. 1 非排水強度

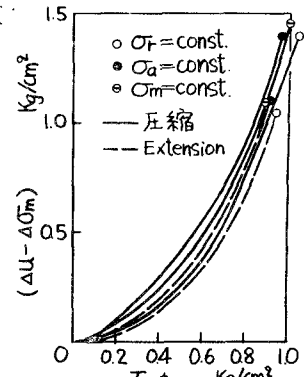


Fig. 2 間ゲキ水圧特性

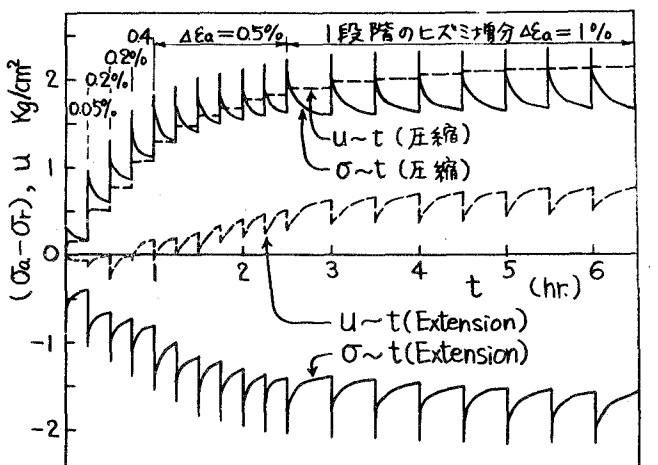


Fig. 3 応力緩和曲線

2. 定荷重式セン断試験および応力緩和試験:  $\sigma_c = 2, 3 \text{ Kg/cm}^2$  のものについて、セン断中の $\Delta F$ を一定に保つた圧縮およびExtension試験を行なった。得られた結果によれば、圧縮試験では $\varepsilon_a$ は $\varepsilon_a$ で一義的に決まるのに対して、Extension試験では $\varepsilon_a$ は経過時間にも影響される。1例として、Fig.3にて $\sigma_c = 3 \text{ Kg/cm}^2$ における応力緩和試験の時間～主応力差～間ゲキ水圧関係を示す。このような一貫性に欠ける間ゲキ水圧の挙動は、粘土の本質から来るものではなく、間ゲキ水圧測定の時間的な遅れと、供試体端面における摩擦の組合せされた結果であると思われる。このような測定上の誤差は三軸試験には必然的にあらわれ、結果も不明確としている。この報告においてもダイレタンシーを決定する要素の検討は困難となつた。

3. Extension ⇄ 圧縮の繰返しセン断試験: セン断の方法は1と同じ定ヒズミ式を用い、まずExtension側に5%変形させ(このヒズミで粘土は事实上弾性状態となる)、続いて圧縮側に5%ひずませ、再びExtension側に5%ひずませる、というサイクルを3回繰返した後、Extension破壊を起させた。試験中の応力～ヒズミ～間ゲキ水圧関係(Figs.4a, 4b)からわかるように、繰返しによって主応力差は減少していくが、間ゲキ水圧は全体として増加する。また、 $(\Delta u - \Delta \sigma_m) \sim T_{act}$  の関係を求めると(Fig.5)、 $(\Delta u - \Delta \sigma_m)$ はどのサイクルにおいても $T_{act}$ の変化の方向が反転すると $T_{act}$ に対して一定の割合で増加はじめ、ある $T_{act}$ に達すると今度は減少はじめ、全体としてサイクルごとに増加している。なお各サイクルにおける $(\Delta u - \Delta \sigma_m)$ のピークはExtension側と圧縮側でそれぞれ1本の直線上に並び(Fig.5の細い破線)、これらの直線は $T_{act} = 0$ の軸と同じ真で同じ角度ではじめている。

間ゲキ水圧を通じて粘土のダイレタンシーを調べようとしたが、統一的な結論を得るに至らなかつた。

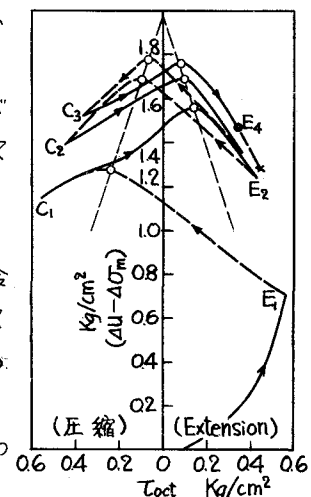


Fig.5 繰返し載荷による  
間ゲキ水圧特性

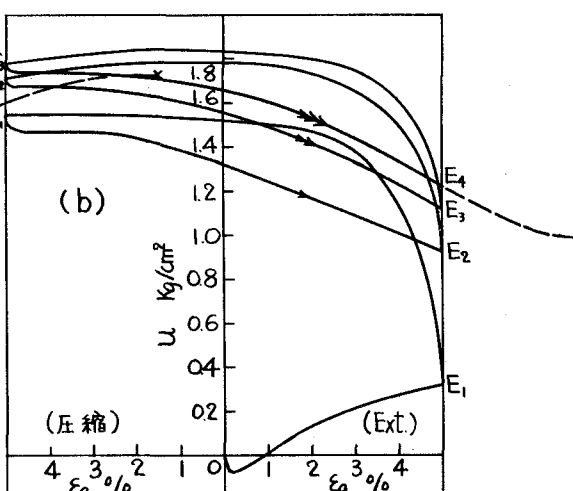
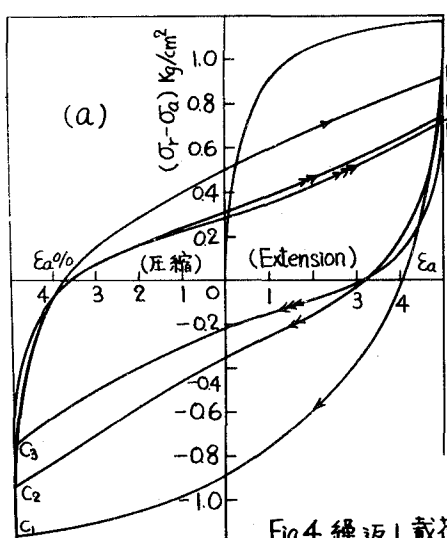


Fig.4 繰返し載荷による(a)応力～ヒズミ (b)間ゲキ水圧～ヒズミ